

基于重组毕赤酵母的 fusaruside 生物合成

田园, 李艳玲

(泰山医学院, 生命科学学院, 山东 泰安 271016)

摘要:目的: 构建产 fusaruside 的毕赤酵母菌株, 解决天然小分子免疫抑制剂 fusaruside 的来源问题。**方法:** 从禾谷镰刀菌 *Fusarium graminearum* PH-1 中扩增获得合成 fusaruside 的相关基因—3 位去饱和酶 ($\Delta 3(E)$ -SD) 和 10 位去饱和酶 ($\Delta 10(E)$ -SD) 基因; 并通过 2A 肽策略构建两种基因的共表达载体, 转化到毕赤酵母 GS115 中进行双酶的诱导表达; 对诱导后的毕赤酵母菌体进行甲醇和二氯甲烷的处理后, 经高效液相色谱质谱联用仪 (HPLC-MS) 检测其中产物变化。**结果:** 3 位去饱和酶和 10 位去饱和酶在毕赤酵母中成功共表达, SDS-PAGE 显示 3 位去饱和酶分子量约为 48 kDa, 10 位去饱和酶分子量约为 65 kDa; HPLC-MS 显示重组酵母可以产生 fusaruside。**结论:** 与 fusaruside 原产菌株镰刀菌相比, 该酵母菌的发酵时间更短, 产量更高, 为 fusaruside 的进一步开发与应用奠定基础。

关键词: 毕赤酵母, 去饱和酶, 2A 肽, 共表达, fusaruside

免疫抑制剂是治疗移植排斥反应和自身免疫疾病的主要药物。但是, 目前临床常用的免疫抑制剂存在多种不良反应, 长期服用会导致严重的副作用, 这多与免疫抑制药物对靶点的选择性不高有关。因此, 寻找新的免疫系统疾病治疗靶点以及开发针对这些靶点的高效、低毒、高选择性的新型小分子免疫抑制剂成为当务之急^[1]。最近的研究发现, 天然小分子化合物 fusaruside 具有良好的选择性免疫抑制作用, 可促进磷酸酶 SHP-2 的磷酸化, 磷酸化的 SHP-2 可与胞浆中非磷酸化的 STAT1 选择性结合, 从而选择性地阻断了 IFN- γ /STAT1/T-bet 的信号通路, 靶向效果较好^[2-6], 是极具潜力的临床用免疫抑制分子。

然而, fusaruside 是丝状真菌 *Fusarium* sp. 的细胞构成物, 在微生物中的含量甚微, 200 g 粗提物中仅分得 24 mg fusaruside^[7]。另外, 这类化合物具有结构复杂、化学合成步骤繁琐等特点, 且合成过程中有毒试剂的使用会导致环境污染^[8]。这些因素严重制约了其深入的药理和生理活性研究。

阐明天然产物的生物合成途径, 并以此为基础, 利用合成生物学技术, 在工程细胞中重组相关生物合成酶, 可实现对天然产物规模化、程序化的制备^[9,10]。与化学合成相比, 目的代谢产物可以由获得的重组菌株发酵大量生产, 因而可以降低生产成本和减少环境污染。近期的研究发现, 毕赤酵母 *Pichia pastoris* 中含有与丝状真菌 *Fusarium* sp. 类似的代谢途径^[11]。与丝状真菌相比, *P. pastoris* 具有生长迅速、遗传操作容易、后期处理简单等多方面的优点。若能将 fusaruside 生物合成的相关基因导入到毕赤酵母中, 有望使酵母直接产生这种小分子免疫抑制剂, 从而快速获得大量的产物。

本研究利用 2A 肽策略, 在毕赤酵母中共表达 fusaruside 相关的合成酶, 重建 fusaruside 的生物合成途径, 获得了可以生产该化合物的重组酵母菌株, 以期解决该化合物的来源问题, 为 fusaruside 的进

一步开发与应用奠定基础。

1 材料与方法

1.1 材料

毕赤酵母 GS115 菌株、*E. coli* DH5 α 菌株以及 pPIC3.5K 质粒均为本实验室保存；禾谷镰刀菌 *Fusarium graminearum* PH-1 购买自美国菌种保藏中心；Plasmid Mini Kit I、Gel Extraction Kit 购自美国 OMEGA Bio-Tek 公司；RNA 提取试剂盒购、自生工生物工程（上海）公司；限制性内切酶 *Bam*H I、*Eco*R I、*Bgl* I、dNTP 购自大连 Takara 公司；葡萄糖、蛋白胨、酵母粉、琼脂糖购自英国 OXOID 公司；甲醇购自美国 Sigma 公司；其余试剂均为国产分析纯。大肠杆菌培养基 LB、毕赤酵母培养基 YPD、选择培养基 MD、诱导表达培养基 BMGY 和 BMMY 及有关培养配方见 Invitrodgen 公司毕赤酵母操作手册。

1.2 方法

1.2.1 目的基因的获取及改造

提取禾谷镰刀菌 *F. graminearum* PH-1 的总 RNA，经反转录获得 cDNA，利用表 1 中所列的 D3-F/D3-R 这对引物扩增 3 位去饱和酶（ Δ 3(E)-Sphingolipid Desaturase, Δ 3(E)-SD, GenBank 登录号：XM_383758.1）基因，利用 D10-F/D10-R 引物扩增 10 位去饱和酶（ Δ 10(E)-Sphingolipid Desaturase, Δ 10(E)-SD, GenBank 登录号：XP_390021.1）基因。

由于选用的 pPIC3.5K 载体酶切位点数量较少，而目的基因中包含这些酶切位点，需要对目的基因进行改造。利用表 1 中所列引物，通过重叠延伸 PCR（Overlap-PCR, OL-PCR）保证目的氨基酸序列不改变的情况下，对基因中含有的 *Bam*H I 和 *Eco*R I 位点进行改造，使基因中不再包含这两种酶的酶切位点。

用于共表达的 2A 肽选用最常用的 F2A 肽，来源于口蹄疫病毒（foot-and-mouth disease virus, FMDV），该基因通过化学合成法获得，长度为 66 bp，其序列见表 1。

表 1 所用引物及 2A 肽基因序列

Table 1 Primers used in this study and gene sequence coding 2A peptide

Primer/Gene name	Primer/Gene sequence (5'-3')	Purpose
D3-F	ATGGCCGAACACCTCGTCTTC	amplication of Δ 3(E)-sd
D3-R	CTGCCTCTTAAACTTCTTCT	amplication of Δ 3(E)-sd
D10-F	ATGGCGCATAGCTCTTTCGTT	amplication of Δ 10(E)-sd
D10-R	CTAGTGATGAGAGAGATCAC	amplication of Δ 10(E)-sd
D3-F1	GCCACCATGGCCGAACACCTC	modification of Δ 3(E)-sd
D3-R1	AGTGAAGGATTCCATGTATCCATGAGAAATTG	modification of Δ 3(E)-sd
D3-F2	CAATTTCTCATGGATACATGGAATCCTTCACT	modification of Δ 3(E)-sd
D3-R2	GTGGCTCCGGACCCCTGCCTCTTAAACTTCT	modification of Δ 3(E)-sd
D10-F1	GAAAACCCCGGTCTATGGCGCATAGCTCTTT	modification of Δ 10(E)-sd
D10-R1	GCGATATATCGAAGGAACCTCGATCCCATAGGCT	modification of Δ 10(E)-sd
D10-F2	AGCCTATGGGATCGAGTTCCTTCGATATATCGC	modification of Δ 10(E)-sd
D10-R2	CTAGTGATGAGAGAGATCACCA	modification of Δ 10(E)-sd
2a	GGGTCCGGAGCCACGAACCTCTCTGTGTTAAAGC AAGCAGGAGACGTGGAAGAAAACCCCGGTCCT	-

1.2.2 共表达载体的构建

chinaXiv:201903.00138v1

利用 OL-PCR 的方法, 在两段去饱和酶基因 ($\Delta 3(E)-sd$ 和 $\Delta 10(E)-sd$) 之间插入 2A 肽基因, 构成 $\Delta 3(E)-sd-2a-\Delta 10(E)-sd$ 的组合基因片段, 利用 *Bam*H I 和 *Eco*R I 对组合片段和酵母表达载体 pPIC3.5K 进行双酶切, 随后连接并转化到 *E. coli* DH5 α 。

对长出的大肠杆菌进行菌落 PCR 验证, 随后再提取阳性菌中的质粒进行 *Bam*H I 和 *Eco*R I 双酶切验证。

1.2.3 毕赤酵母重组菌株的构建与筛选

将构建好的共表达载体 pPIC3.5K- $\Delta 3(E)-sd-2a-\Delta 10(E)-sd$ 用 *Bgl* I 进行线性化, 随后用碱性磷酸酶进行去磷酸化以防止其发生自连接。处理好的表达载体通过电转化的方式导入到感受态细胞中, 具体操作方法如下: 载体与 40 μ L 感受态细胞轻轻混匀, 样品转移到预冷的 2 mm 电转杯中, 冰上放置 1 min 后电击 (1.5 kV, 25 μ F, 200 Ω , 6 ms) 一次。电转结束后立即加入 1 mL、1 mol/L 冰预冷的无菌山梨醇, 于超净台内将所有溶液转至灭菌离心管中, 30 $^{\circ}$ C 静置 1~2 h, 取 300 μ L 涂布于含有 1 M 山梨醇和 0.25 mg/mL 遗传霉素的 YPD 平板上。

培养 3~4 d 后, 随机挑取若干单菌落, 用 YPD 液体培养基振荡培养 24 h, 提取染色体 DNA, 以引物 D3-F/D10-R 进行 PCR 鉴定, 鉴定成功的菌株进行诱导表达。

1.2.4 毕赤酵母重组菌株的诱导表达

P. pastoris 含有醇氧化酶基因启动子 (PAOX1), 表达载体所携带的外源基因整合于启动子下游, 在甲醇诱导下, PAOX1 可驱动下游的外源基因大量表达。将筛选获得的阳性菌株接种于含有 5 mL YPD 培养基的试管中, 30 $^{\circ}$ C、200 r/min 下振荡培养 1 d; 按 2% 体积将种子液接种于含有 50 mL 的 BMGY 培养基的 250 mL 三角瓶中; 30 $^{\circ}$ C、200 r/min 下振荡培养 1 d, 离心收集菌体, 然后全部转入含 50 mL BMMY 培养基的 250 mL 三角瓶中, 30 $^{\circ}$ C、200 r/min 下振荡培养。每隔 12 h 添加甲醇至终浓度为 0.5%, 同时, 每隔 12 h 取样一次, 利用 SDS-PAGE 分析菌体中蛋白的表达情况。

1.3 毕赤酵母重组菌株产物分析

1.3.1 Fusaruside 的检测

对成功诱导的酵母菌进行烘干, 用甲醇/二氯甲烷 ($v/v = 1:1$) 对干燥的菌体进行浸泡萃取 3 次, 获得的浸提液经旋转蒸发仪蒸干。取微量浸膏经 HPLC-MS 检测 fusaruside 产生情况, 同时未转化重组载体的毕赤酵母菌作为阴性对照, 样品 fusaruside 和其前体物质 cerebroside B 为阳性对照。

所用 HPLC-MS 仪器为安捷伦高分辨四级杆飞行时间串联液质联用仪, HPLC 分离条件为: ZORBAX Eclipse Plus C18 柱, 100 mm \times 4.6 mm, 3.5 μ m, 流动相: 甲醇-水 ($v/v = 9:1$), 流速 0.4 μ L/min。

1.3.2 Fusaruside 的分离提取

经 HPLC-MS 检测确定重组酵母菌可以产 fusaruside 之后, 对重组毕赤酵母进行大量发酵和诱导表达。离心获得酵母菌体, 用甲醇/二氯甲烷 ($v/v = 1:1$) 对干燥的菌体进行浸泡萃取 3 次, 获得的粗浸膏通过反相硅胶层析柱进行粗分, 洗脱条件为 50%、60%、70%、80%、90%、100% 的甲醇-水。经 HPLC-MS 示踪, 对含有 fusaruside 的样品用凝胶柱 LH-20 进一步细分, 用二氯甲烷/甲醇 (体积比 1:1) 进行洗脱。经 HPLC-MS 示踪, 将含有 fusaruside 的样品经 HPLC 进一步分离纯化, 最后获得的纯的 fusaruside, 并通过氢谱确定 fusaruside 的化学结构。

2 结果与分析

2.1 目的基因的克隆与重组载体的构建

Fusaruside 的生物合成基因 $\Delta 3(E)-sd$ 和 $\Delta 10(E)-sd$ 经表 1 中所列引物扩增, 回收 PCR 产物, 所得片段长度分别为 1 320 bp 和 1 722 bp (见图 1)。

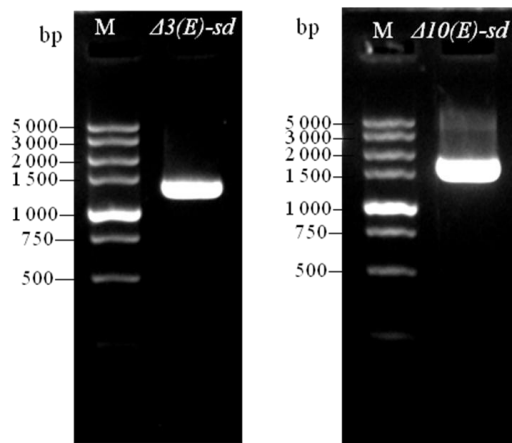


图 1 目的基因 PCR 扩增电泳图

Fig. 1 Agarose gel electrophoresis of PCR amplified target genes. M: DNA marker; $\Delta 3(E)$ -sd: PCR product with $\Delta 3(E)$ -sd; $\Delta 10(E)$ -sd: PCR product with $\Delta 10(E)$ -sd.

利用 OL-PCR 的方法, 构建如图 2 所示 $\Delta 3(E)$ -sd-2a- $\Delta 10(E)$ -sd 的组合基因片段, 长度约为 3 000bp。

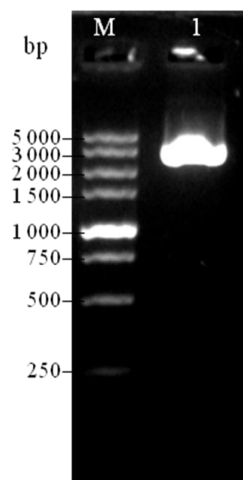


图 2 $\Delta 3(E)$ -sd-2a- $\Delta 10(E)$ -sd 的组合基因片段 PCR 扩增电泳图

Fig. 2 Agarose gel electrophoresis of PCR amplified $\Delta 3(E)$ -sd-2a- $\Delta 10(E)$ -sd combined gene. M: DNA marker; 1: PCR product with $\Delta 3(E)$ -sd-2a- $\Delta 10(E)$ -sd.

利用 *Bam*H I 和 *Eco*R I 对组合片段和酵母表达载体 pPIC3.5K 进行双酶切, 随后连接并转化到大肠杆菌中。对长出的大肠杆菌菌落进行 PCR 验证, 获得数个阳性菌株。提取阳性克隆中的质粒后进行酶切验证, 构建好的共表达载体示意图及酶切验证结果如图 3 所示, 表明成功获得双酶共表达载体 pPIC3.5K- $\Delta 3(E)$ -sd-2a- $\Delta 10(E)$ -sd。

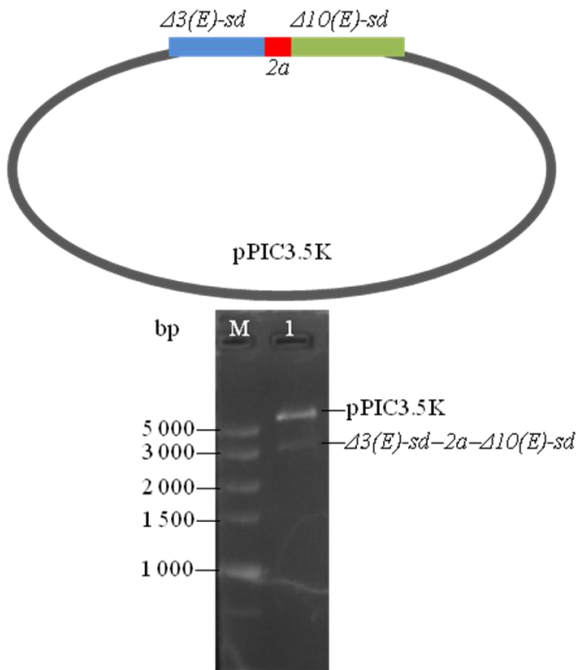


图 3 共表达质粒示意图及酶切鉴定结果

Fig. 3 Schematic of co-expression plasmid and identification by digestion. M: DNA marker; 1: product of double enzyme digestion.

2.2 重组菌株的构建及诱导表达

利用电转化的方式将共表达质粒 $pPIC3.5K-\Delta3(E)-sd-2a-\Delta10(E)-sd$ 转入毕赤酵母 GS115，利用含有遗传霉素的抗性培养基筛选阳性转化子。提取重组酵母菌基因组 DNA，以其为模板，利用引物 D3-F/D10-R 进行 PCR 鉴定。从图 4 可以看出，阳性重组菌可扩增出 3 000 bp 左右的片段，条带大小与理论值相符，证明 $pPIC3.5K-\Delta3(E)-sd-2a-\Delta10(E)-sd$ 与毕赤酵母 GS115 染色体基因组重组成功。

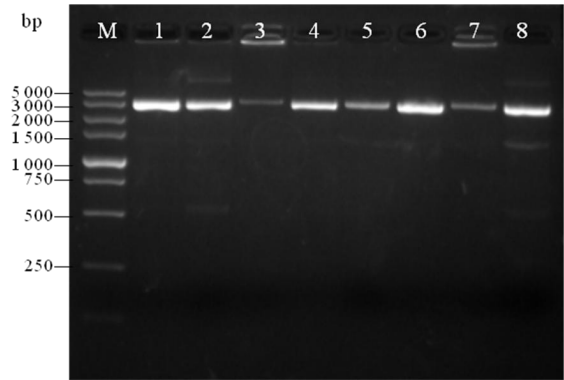


图 4 转化子的 PCR 鉴定结果

Fig. 4 Identification of transformants by PCR. M: DNA maker; 1-8: PCR products with primer D3-F/D10-R.

将阳性菌株接种于以甘油为唯一碳源的培养基中，30 ℃ 培养 1 d 后，收集菌体进行甲醇诱导培养，每隔 12 h 取样，对菌体进行 SDS-PAGE 分析。结果如图 5 所示，从图中可以看出，经 84 h 后 $\Delta3(E)-SD$ （分子量约 48 kDa）和 $\Delta10(E)-SD$ （分子量约 65 kDa）在重组酵母中成功表达。

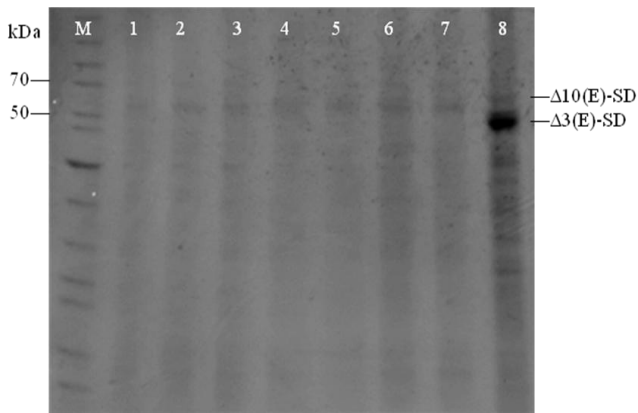


图5 重组酵母菌体蛋白的SDS-PAGE分析

Fig. 5 SDS-PAGE analysis of proteins in the recombinant yeast cells. M: protein marker; 1: 0 h; 2: 12 h; 3: 24 h; 4: 36 h; 5: 48 h; 6: 60 h; 7: 72 h; 8: 84h.

2.3 重组菌株产物分析

2.3.1 Fusaruside 的检测

对成功诱导的酵母菌细胞进行烘干，萃取，浓缩后，浸膏经 HPLC-MS 检测 fusaruside 产生情况，提取检测后的离子流，结果如图 6 所示，表明构建的工程菌能够产生 fusaruside 以及它的前体化合物 cerebroside B，而没有转化重组载体的毕赤酵母菌则不能够生产。

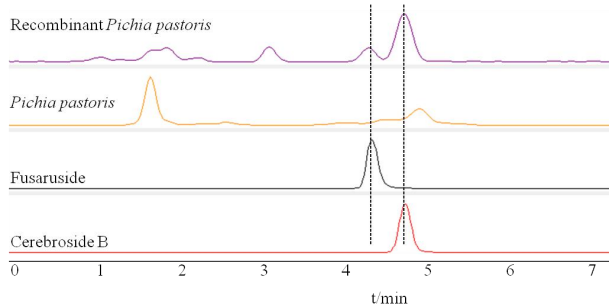


图6 重组酵母细胞提取物的HPLC-MS分析

Fig. 6 HPLC-MS analysis of extracts from the recombinant yeast cells.

2.3.2 Fusaruside 的分离纯化

经检测确定酵母菌可以产 fusaruside 之后，大规模发酵重组酵母菌，获得 3.6g 粗浸膏进行分离纯化，经 HPLC-MS 示踪，使用反相硅胶、凝胶和 HPLC 分离后获得 5 mg 纯的 fusaruside，并通过氢谱确定 fusaruside 的化学结构。如图 7 所示 δ 5.34~6.06 处共有 7 个质子信号，表明该化合物有 4 个双键，比毕赤酵母中所产的 cerebroside D 多了两个双键，从而说明该化合物正确。

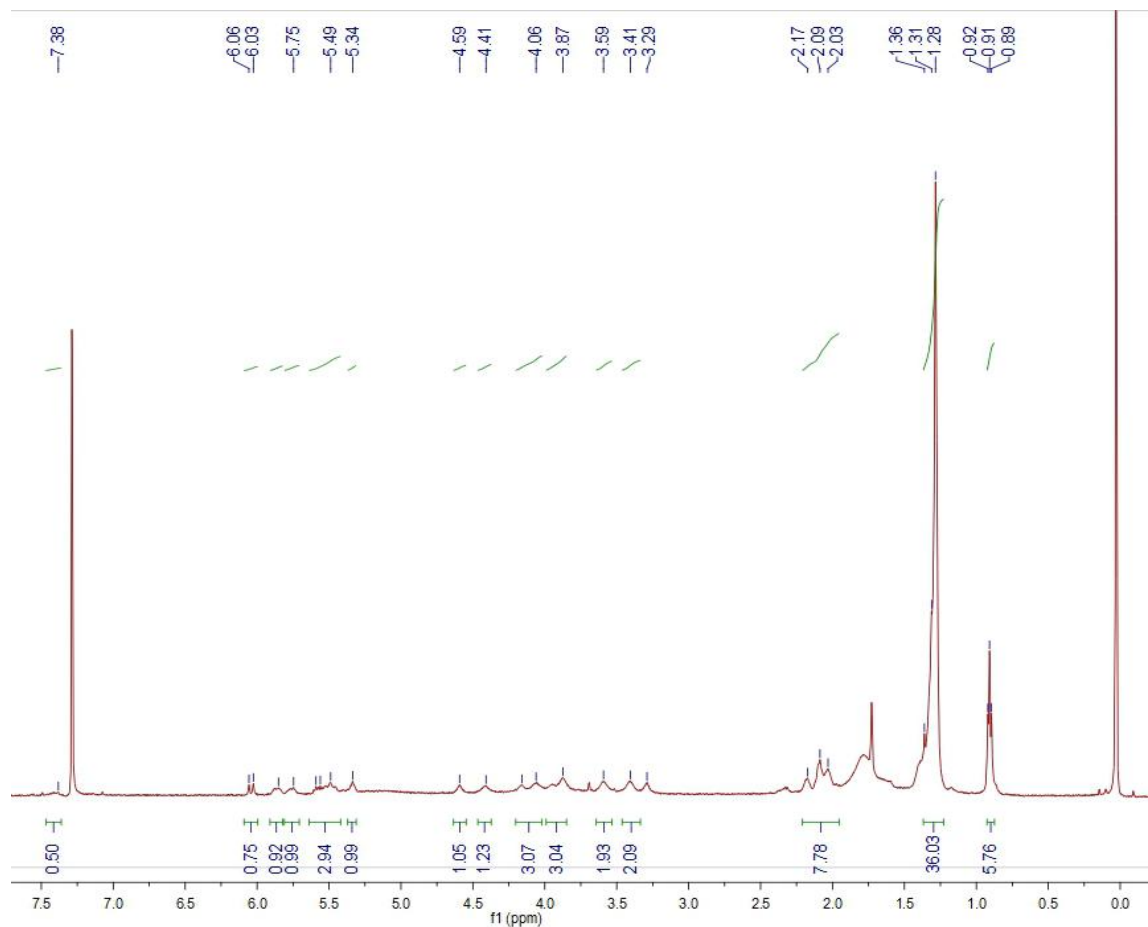


图7 Fusaruside氢谱 (CDCl₃, 400 MHz)

Fig. 7 ¹H NMR of fusaruside (CDCl₃, 400 MHz)

该酵母菌 fusaruside 产量与文献[7]中报道的镰刀菌产量对比如表 2 所示，由表中可知酵母菌的产率是文献中镰刀菌的 11.6 倍。

表 2 不同 fusaruside 产生菌之间产量对比

Table 2 The contrast of the yield of fusaruside from different producing strains

Producing strains	Total extract (g)	Fusaruside (mg)	Yield (mg/g)
<i>Fusarium</i> sp. [7]	200	24	0.12
Recombinant <i>P. pastoris</i>	3.6	5	1.39

3 讨论

我们前期通过基因敲除和异源表达实验，发现了与 fusaruside 生物合成相关的 10 位去饱和酶 (Δ10(E)-Sphingolipid Desaturase, Δ10(E)-SD)，并阐明了 fusaruside 完整的生物合成途径 (图8) [12]。从中我们发现 cerebroside D 经过 Δ3(E)-SD 的脱氢反应可以生成 cerebroside B，再经 Δ10(E)-SD 的脱氢作用即可产生 fusaruside [11-13]。而化合物 cerebroside D 大量存在于 *P. pastoris* 菌体中，这意味着在 *P. pastoris* 中共表达这两种酶，可以将酵母菌体细胞中的 cerebroside D 转化为 fusaruside，从而实现 fusaruside 的快速生物合成。

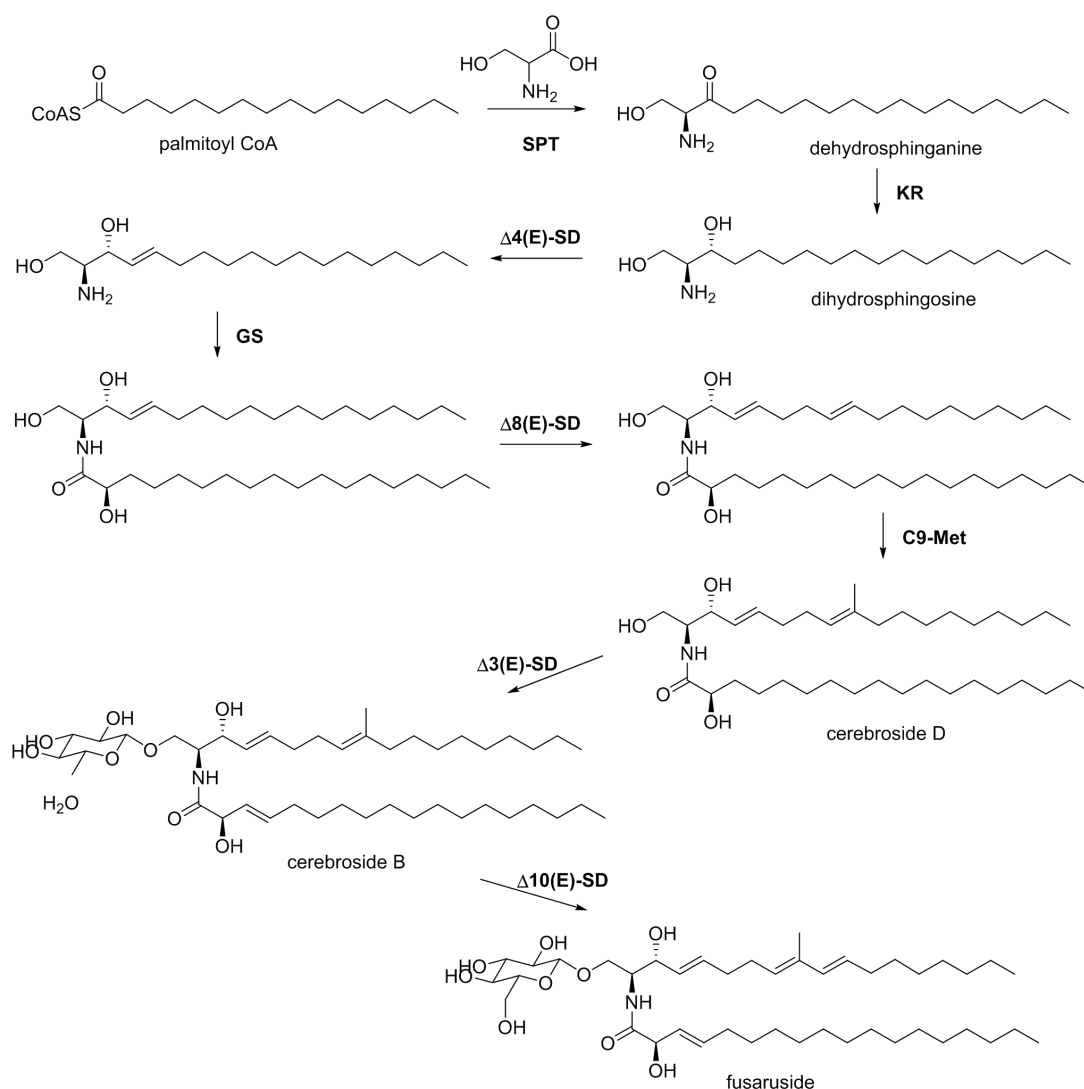


图8 Fusaricide完整生物合成途径^[12]

Fig.8 Complete biosynthetic pathway of fusaricide^[12]

本研究利用自剪切2A肽的多基因载体构建策略,该策略规避了多基因表达时蛋白活性不高等缺点,具备明显的优势,是目前较为理想的多基因表达策略^[14]。Brazier-Hicks等利用2A肽策略在*P. pastoris*中共表达黄酮糖苷合成酶基因,获得了可以生产黄酮糖苷的重组酵母菌^[15]。Beekwilder等利用该技术在酿酒酵母*Saccharomyces cerevisiae*中重建β-胡萝卜素生物合成途径,获得了β-紫罗兰酮^[16]。Geier等首次利用2A肽策略成功在*P. pastoris*中共表达9种基因,获得了可以生产紫色杆菌素和类胡萝卜素的重组酵母菌株^[17]。这些成功的研究表明了该方法的有效性。本研究利用该方法成功构建了Δ3(E)-SD和Δ10(E)-SD的共表达载体,首次获得了可以生产fusaricide的重组*P. pastoris*菌株。

本研究中每3.6 g重组*P. pastoris*的粗浸膏可获得5 mg fusaricide,与文献中报道的丝状真菌*Fusarium sp.*相比^[7],产率是其11.6倍。且重组*P. pastoris*的发酵时间更短(84 h),而丝状真菌*Fusarium sp.*的发酵时间为11 d。该重组*P. pastoris*的获得为fusaricide的进一步开发与应用奠定了基础。

Ternes等研究发现*P. pastoris*中存在两条代谢途径,其中A途径可产生fusaricide的前体cerebroside D,而B途径则会生成鞘氨醇,且B途径会对A途径有抑制作用,进而抑制cerebroside D的产量^[11]。为解除抑制作用,进一步提高fusaricide产量,下一步可对*P. pastoris*中的脑苷脂合成酶(glucosylceramide synthase,

GS) 基因进行过表达; 结合改变*P. pastoris*的培养及诱导条件, 进一步优化fusaruside的生产条件, 提高产量, 切实解决这种新型免疫抑制剂的来源问题。

REFERENCES

- [1]Liu Y, Wang YB, Zhang Q, et al. Development in small molecule immunosuppressive drugs. Chin J New Drugs, 2011, 20(20): 1981–1988.
刘莹, 王玉斌, 张琪, 等. 新型小分子免疫抑制剂研究进展. 中国新药杂志, 2011, 20(20): 1981–1988.
- [2]O'Shea, JJ, Pesu M, Borie DC, et al. A new modality for immunosuppression: targeting the JAK/STAT pathway. Nat. Rev. Drug Discov, 2004, 3: 555–564.
- [3]Wu XF, Wu XX, Guo WJ, et al. Cerebroside D, a glycosphingolipid compound, improves experimental colitis in mice with multiple targets against activated T lymphocytes. Toxicol Appl Pharm, 2012, 263(3): 296–302.
- [4]Wu XX, Sun Y, Guo WJ, et al. Rebuilding the balance of STAT1 and STAT3 signalings by fusaruside, a cerebroside compound, for the treatment of T-cell-mediated fulminant hepatitis in mice. Biochem Pharmacol, 2012, 84(9): 1164–1173.
- [5]Li J, Ferris RL. PD-1/SHP-2 negatively regulate Tc1/Th1 phenotypic responses and activation of T cells in the tumor microenvironment. J Immunother Cancer, 2014, 2(S3): 221.
- [6]Wu XX, Guo WJ, Wu LM. et al. Selective sequestration of STAT1 in the cytoplasm via phosphorylated SHP-2 ameliorates murine experimental colitis. J Immunol, 2012, 189(7), 3497–3507.
- [7]Shu RG, Wang FW, Yang YM, et al. Antibacterial and xanthine oxidase inhibitory cerebroside from *Fusarium sp.* IF-121, an endophytic fungus in *Quercus variabilis*. Lipids, 2004, 39(7): 667–673.
- [8] Black FJ, Kocienski P. Synthesis of phalluside-1 and Sch II using 1,2-metallate rearrangements. Org Biomol Chem, 2010, 8(5), 1188–1193.
- [9]Ro DK, Paradise EM, Ouellet M, et al. Production of the antimalarial drug precursor artemisinic acid in engineered yeast. Nature, 2006, 440(7086), 940–943.
- [10]Farhi M, Marheva E, Ben-Ari J, et al. Generation of the potent anti-malarial drug artemisinin in tobacco. Nat Biotechnol, 2011, 29(12): 1072–1074.
- [11]Ternes P, Wobbe T, Schwarz M, et al. Two pathways of sphingolipid biosynthesis are separated in the yeast *Pichia pastoris*. J Biol Chem, 2011, 286(13): 11401–11414.
- [12]Tian Y, Zhao GY, Fang W, et al. $\Delta 10(E)$ -Sphingolipid desaturase involved in fusaruside mycosynthesis and stress adaptation in *Fusarium graminearum*. Sci Rep, 2015, 5: 10486.
- [13]Zaüner S, Zahringer U, Lindner B, et al. Identification and functional characterization of the 2-hydroxy fatty N-acyl- $\Delta 3(E)$ -desaturase from *Fusarium graminearum*. J Biol Chem, 2008, 283(52): 36734–36742.
- [14]Zhang H, Huang SC, Cai SH. Development of 2A peptide-based strategies for constructing multicistronic expression vectors. Chin Biotechnol, 2013, 33(1): 104–108.
张欢, 黄思超, 蔡绍晖. 基于 2A 肽策略构建多基因表达载体的研究进展. 中国生物工程杂志, 2013, 33(1): 104-108.
- [15]Brazier-Hicks M, Edwards R. Metabolic engineering of the flavone-C-glycoside pathway using poly protein technology, Metab Eng, 2013, 16: 11–20.
- [16]Beekwilder J, van Rossum HM, Koopman F, et al. Polycistronic expression of a β -carotene biosynthetic pathway in *Saccharomyces cerevisiae* coupled to β -ionone production. J Biotechnol, 2014, 192: 383–392.
- [17]Geier M, Fauland P, Vogl T, et al. Compact multi-enzyme pathways in *P. pastoris*. Chem Commun, 2015, 51: 1643–1646.

(本文责编)

Biosynthesis of fusaruside based on recombinant *Pichia pastoris*

Yuan Tian, Yanling Li

(College of Life Science, Taishan Medical University, Taian 271016, Shandong, China)

Abstract: Objective: A strain of *Pichia pastoris* producing fusaruside was constructed to solve the source problem of fusaruside, a selective immunosuppressive molecule. **Method:** Two related biosynthetic genes coding delta 3(E)-sphingolipid desaturase ($\Delta 3(E)$ -SD) and delta 10(E)-sphingolipid desaturase ($\Delta 10(E)$ -SD) were amplified from fungus *Fusarium graminearum* PH-1. 2A peptide based strategy was used to construct the co-expression vector. Then the 2A polyprotein construct was transformed into *Pichia pastoris* GS115 for induction. Finally, *P. pastoris* cells were extracted with methanol and dichloromethane, and the extract was detected by High Performance Liquid Chromatography Mass Spectrometer (HPLC-MS). **Result:** The two desaturases were successfully co-expressed in *P. pastoris*. SDS-PAGE showed that the molecular weight of $\Delta 3(E)$ -SD and $\Delta 10(E)$ -SD were about 48 kDa and 65 kDa, respectively. HPLC-MS indicated that fusaruside could be produced by the recombinant yeast. **Conclusion:** Compared with *Fusarium* which producing fusaruside, the engineered yeast had shorter fermentation time and higher yield, laying a foundation for further development and application of fusaruside.

Keywords: *Pichia pastoris*, desaturase, 2A peptide, co-expression, fusaruside